

雌阿寒岳における地磁気全磁力変化*

Variation of Geomagnetic Total Intensity at Meakandake Volcano

気象庁地磁気観測所

札幌管区气象台 火山監視・情報センター

Kakioka Magnetic Observatory, JMA

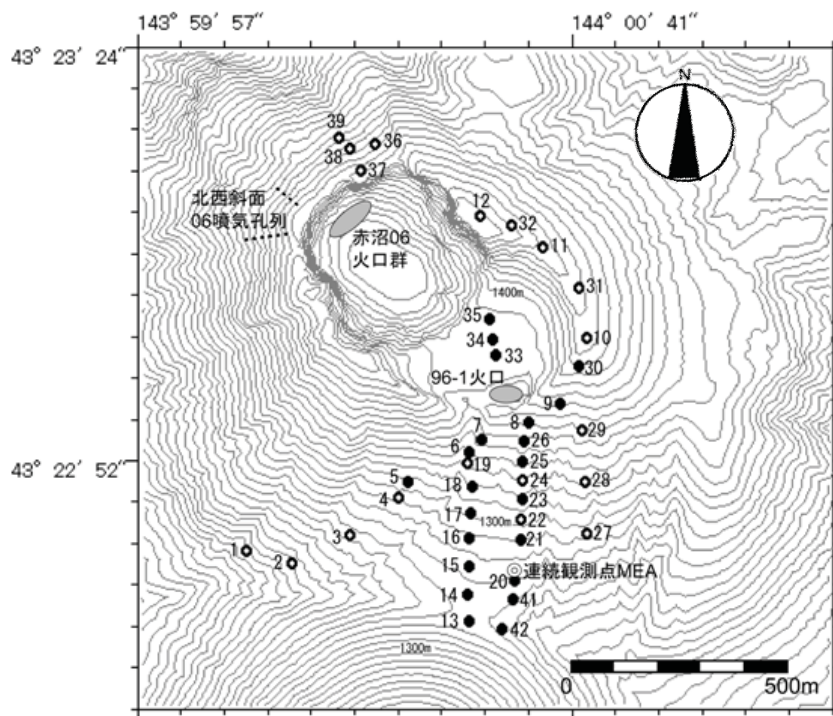
Volcanic Observations and Information Center,

Sapporo District Meteorological Observatory, JMA

雌阿寒岳における2012年1月までの地磁気全磁力変化について報告する。

第1図は雌阿寒岳における地磁気全磁力観測点配置図である。第2図に連続観測点MEAと参照点MMB(女満別観測施設:北緯43度54.6分 東経144度11.3分)の全磁力日平均値の差を示す。ここから年周変化量を除去したものを第3図に示し、第4図に2011年2月以降のみを示す。第5図には1992年9月から2011年9月までの各繰り返し点における全磁力変化を示す。

地磁気全磁力観測では、2009年7月以降見られていた地下の冷却を示唆する全磁力の増加が2011年1月以降はほぼ停止しており、96-1火口南側地下の温度低下は停止していると考えられる。また全磁力繰り返し観測では、96-1火口南側斜面の観測点において連続観測点と同様の変化をしており、最近2回の観測(2011年6月及び2011年9月)の間に目立った変化は見られない。

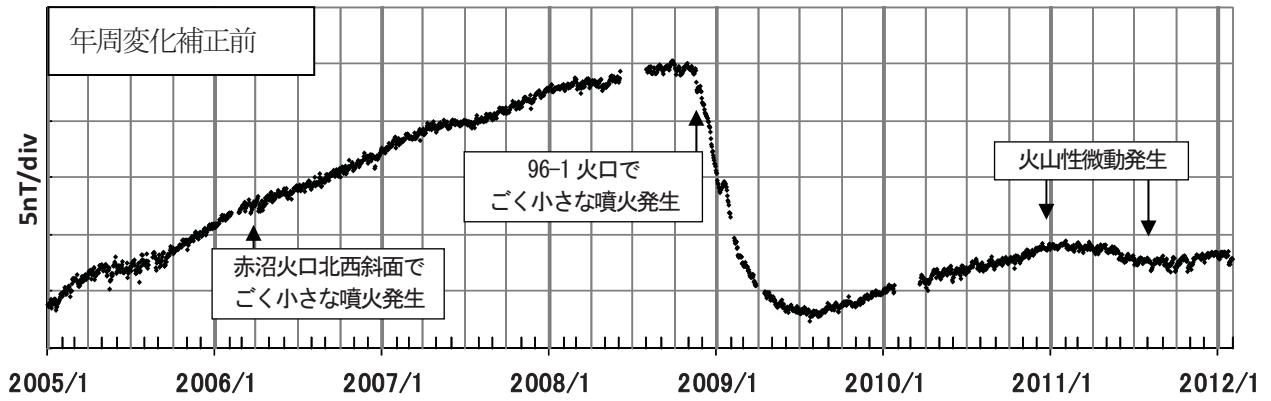


第1図 全磁力観測点配置図 (◎連続観測点MEA ●繰り返し観測点 ◐過去の繰り返し観測点)

等高線は10m間隔。この図の作成にあたっては、国土地理院発行の『数値地図10mメッシュ(火山標高)』を使用した。

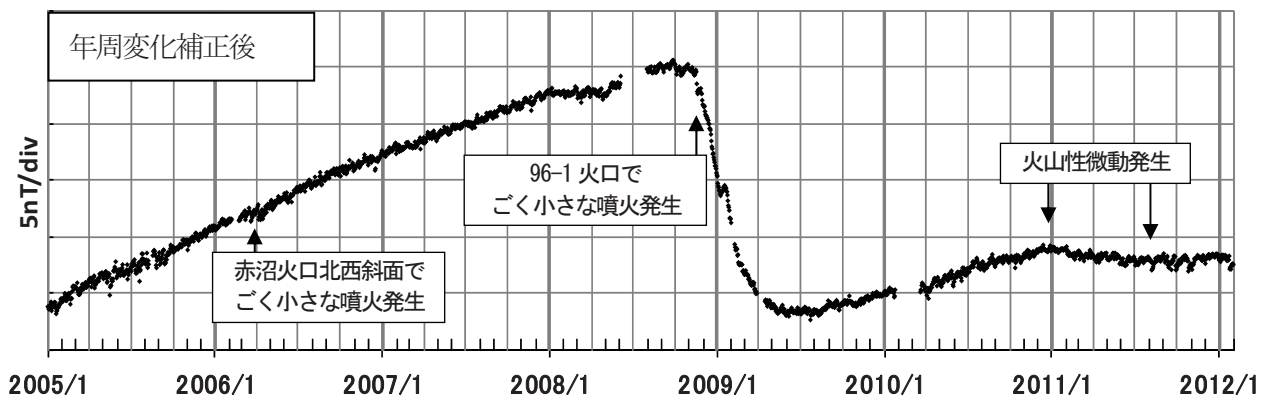
Fig.1 Location map of geomagnetic total intensity observation stations. Continuous, repeat and past repeat stations are marked by ◎, ● and ◐ respectively. The contour interval is 10m.

* 2012年3月29日受付



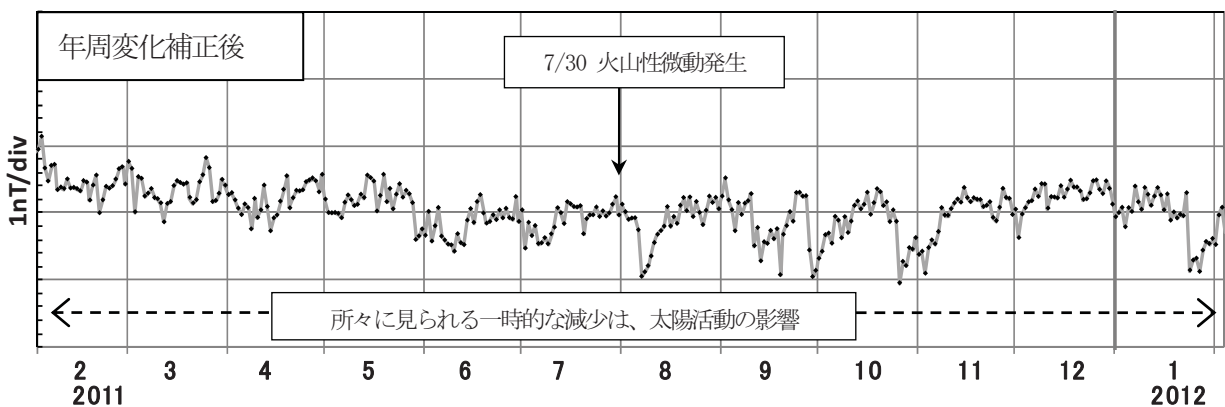
第2図 MEAにおける全磁力日平均値とMMBの全磁力日平均値との差(2005年1月～2012年1月)

Fig.2 Differences of the daily mean values of the geomagnetic total intensities between the station MEA and the reference station MMB (from January 2005 to January 2012).



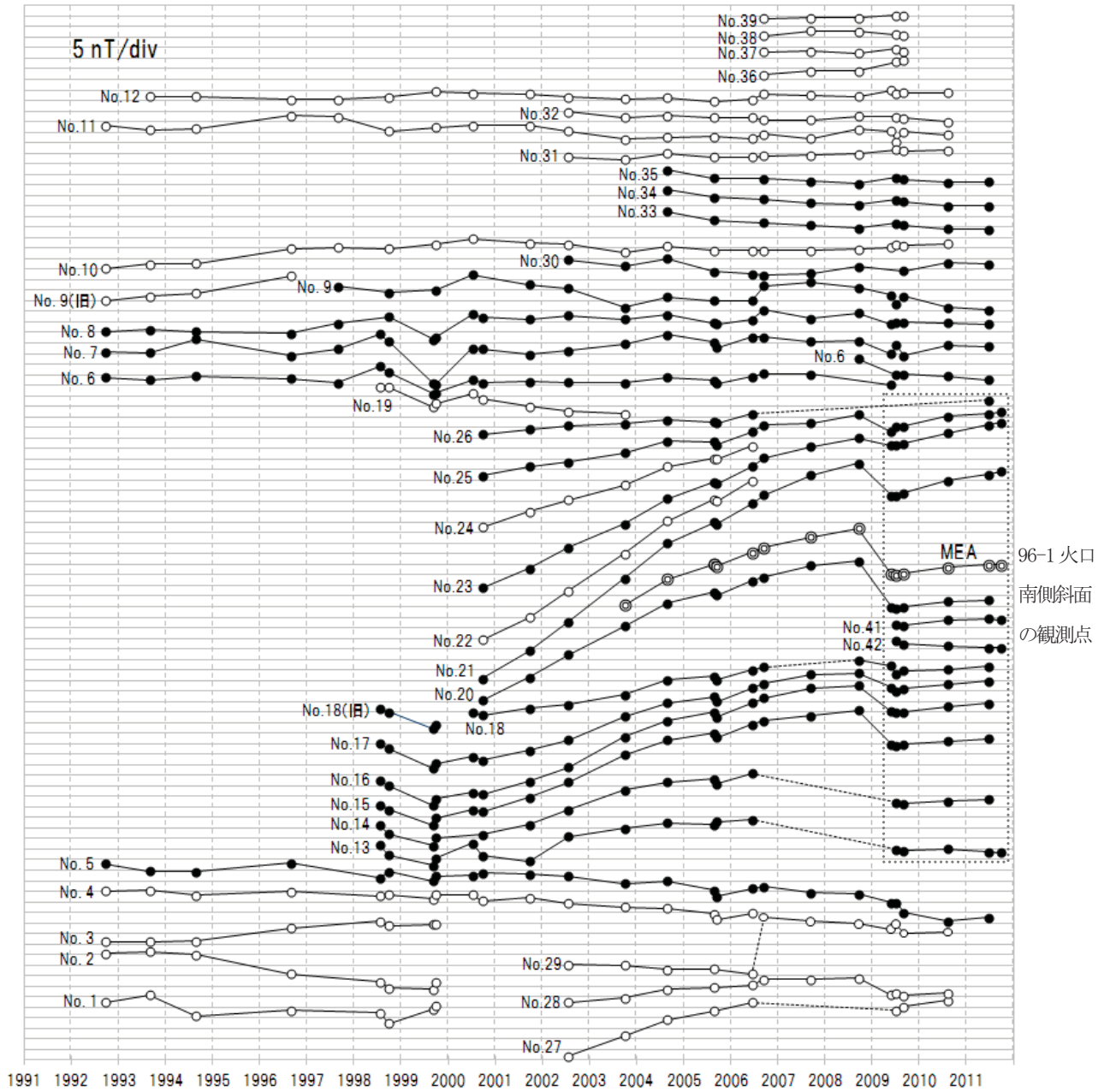
第3図 年周変化補正後のMEAとMMBの全磁力日平均値差(2005年1月～2012年1月)

Fig.3 Differences of the daily mean values of the geomagnetic total intensities between the station MEA and the reference station MMB after the correction of annual variation (from January 2005 to January 2012).



第4図 年周変化補正後のMEAとMMBの全磁力日平均値差(2011年2月～2012年1月)

Fig.4 Differences of the daily mean values of the geomagnetic total intensities between the station MEA and the reference station MMB after the correction of annual variation (from February 2011 to January 2012).



第5図 繰り返し観測点における全磁力と MMB の全磁力との差 (1992 年 9 月～2011 年 9 月)

Fig.5 Differences of the geomagnetic total intensities between the repeat stations and MMB (from September 1992 to September 2011).